



Московский государственный университет имени М. В. Ломоносова  
Факультет вычислительной математики и кибернетики  
Кафедра системного анализа

Курсовая работа

# «Динамические системы с дискретным временем»

*Студент 315 группы*  
А. В. Бабаев

*Руководитель практикума*  
Д. А. АЛИМОВ

Москва, 2021

## Содержание

<b>1</b>	<b>Постановка задачи</b>	<b>3</b>
<b>2</b>	<b>Исследование системы (1)</b>	<b>4</b>
2.1	Нахождение неподвижных точек . . . . .	4
2.2	Исследование характера неподвижных точек . . . . .	4
2.3	Построение бифуркационной диаграммы . . . . .	5
2.4	Исследование на наличие циклов длины 2 и 3 . . . . .	7
2.5	Расчет показателя Ляпунова . . . . .	8
<b>3</b>	<b>Исследование системы (2)</b>	<b>10</b>
3.1	Неподвижные точки системы (2) . . . . .	10
3.2	Исследование характера неподвижных точек . . . . .	10
3.3	Бифуркация Неймарка-Сакера . . . . .	11
<b>4</b>	<b>Список литературы</b>	<b>13</b>

## 1 Постановка задачи

Исследовать системы:

$$u_{t+1} = ru_t(8 - u_t^3), \quad 0 < u_t < 2 \quad (1)$$

$$u_{t+1} = ru_t(8 - u_{t-1}^3), \quad 0 < u_t < 2 \quad (2)$$

- 1) Найти неподвижные точки и исследовать их на устойчивость.
- 2) Доказать, что имеется цикл длины 2.
- 3) Найти циклы длины 3 и построить бифуркационную диаграмму в зависимости от значения параметра ( $r > 0$ ).
- 4) Построить зависимость показателя Ляпунова от значения параметра ( $r > 0$ ).
- 5) Для систем с запаздыванием построить бифуркационную диаграмму, построить инвариантную кривую в случае существования бифуркации Неймарка-Сакера.

## 2 Исследование системы (1)

### 2.1 Нахождение неподвижных точек

**Определение 2.1.** Точка  $U_* \in \mathbb{R}$  называется неподвижной точкой системы  $u_{t+1} = f(u_t)$ ,  $u_t \in \mathbb{R}$ ,  $f : \mathbb{R} \rightarrow \mathbb{R}$ , если  $u_* = f(u_*)$ . Воспользовавшись определением, можно определить все неподвижные точки. Уравнение будет иметь вид:

$$u = ru(8 - u^3)$$

Решив его, мы получим 2 неподвижные точки, а именно:  $u_1^* = 0, u_2^* = (\frac{8r-1}{r})^{1/3}$

### 2.2 Исследование характера неподвижных точек

**Определение 2.2.** (Определение устойчивости по Ляпунову). Неподвижная точка  $u_*$  отображения  $u \rightarrow f(u; r)$ ,  $u \in \mathbb{R}$ ,  $r \in \mathbb{R}^m$  называется устойчивой по Ляпунову, если для любого положительного  $\varepsilon$  найдется отвечающее ему число  $\delta > 0$  такое, что для любой точки  $u_0$  из  $\delta$ -окрестности точки  $u_*$  вся траектория системы  $u_t$ ,  $t = 0, 1, 2, \dots$  содержится в  $\varepsilon$ -окрестности точки  $u_*$ . В противном случае неподвижная точка называется неустойчивой.

**Определение 2.3.** Если  $u_*$ -устойчива по Ляпунову неподвижная точка отображения  $U \rightarrow f(u; r)$ ,  $u \in \mathbb{R}$ ,  $r \in \mathbb{R}^m$  и, кроме того,  $\lim_{t \rightarrow \infty} f(u_t) = u_*$ , то  $u_*$  называется асимптотически устойчивой по Ляпунову.

Для исследования точек на устойчивость нам понадобится следующее утверждение:

**Теорема 1** Пусть  $u_*$  - неподвижная точка системы  $u_{t+1} = f(u_t)$ , и  $f$  обратима в некоторой окрестности точки  $u_*$ . Тогда если  $|f_u(u_*)| < 1$  то точка  $u_*$  асимптотически устойчива, если  $|f_u(u_*)| > 1$ , то она неустойчива. В случае  $|f_u(u_*)| = 1$  требуется дальнейшее исследование.

Доказательство. Пусть  $|f_u(u^*)| < 1$  — и пусть  $u$  принадлежит малой окрестности  $u^*$ . Так как:

$$\lim_{u \rightarrow u^*} \frac{|f(u) - f(u^*)|}{|u - u^*|} = |f_u(u^*)|$$

поэтому существует такая окрестность  $u^*$ , что

$$\frac{|f(u) - f(u^*)|}{|u - u^*|} \leq a$$

для всех  $u$  из этой окрестности; здесь  $a$  — некоторое число, такое что  $|f_u(u^*)| \leq a < 1$ . Таким образом,  $f(u)$  остается в той же окрестности, что и  $u$ , и, кроме того, ближе к неподвижной точке  $u^*$ , и по крайней мере, на множитель  $a$ . Отсюда следует, что

$$|f(f(u)) - f(f(u^*))| \leq a|f(u) - f(u^*)| < a^2|u - u^*|,$$

или, по индукции,

$$|f^{(k)}(u) - u^*| = |f(f^{(k-1)}(u)) - f(f^{(k-1)}(u^*))| \leq a|f^{(k-1)}(u) - f^{(k-1)}(u^*)| \leq a^k|u - u^*|,$$

где  $f^k$  означает  $k$ -ую суперпозицию отображения  $f$ . Таким образом мы доказали, что последовательность  $f^{(k)}(u)$  будет сходиться к  $u^*$ , то есть является асимптотически устойчивой. Вторая часть утверждения доказывается сходным образом.

Теперь исследуем  $f(u, r)'_u = 8r - 4u^3$  в окрестностях найденных ранее неподвижных точек  $u_1^* = 0, u_2^* = (\frac{8r-1}{r})^{1/3}$ .

1. При  $u_1^* = 0$ :

$$\lim_{u \rightarrow 0} |f(u, r)'_u| = \lim_{u \rightarrow 0} |8r - 4u^3| = 8r.$$

Можно выделить следующие случаи:

- 1)  $r \in (0, \frac{1}{8}) \Rightarrow |f(u_1^*, r)| < 1 \Rightarrow$  точка  $u_1^* = 0$  – асимптотически устойчива.
- 2)  $r = \frac{1}{8} \Rightarrow |f(u_1^*, r)| = 1 \Rightarrow$  необходимы дополнительные исследования.
- 3)  $r \in (\frac{1}{8}, \infty) \Rightarrow |f(u_1^*, r)| > 1 \Rightarrow$  точка  $u_1^* = 0$  – является неустойчивой.

2. При  $u_2^* = (\frac{8r-1}{r})^{1/3}$ :

$$\lim_{u \rightarrow (\frac{8r-1}{r})^{1/3}} |f(u, r)'_u| = \lim_{u \rightarrow (\frac{8r-1}{r})^{1/3}} |8r - 4u^3| = |8r - 32 + \frac{4}{r}|.$$

- 1)  $r \in (\frac{1}{8}, \frac{31}{16} - \frac{7\sqrt{17}}{16}) \cup (\frac{7\sqrt{17}}{16} + \frac{31}{16}, 4) \Rightarrow |f(u_1^*, r)| < 1 \Rightarrow$  точка  $u_2^* = (\frac{8r-1}{r})^{1/3}$  – асимптотически устойчива.
- 2)  $r = \frac{1}{8} \Rightarrow |f(u_1^*, r)| = 1 \Rightarrow$  необходимы дополнительные исследования.
- 3)  $r \in (0, \frac{1}{8}) \cup (\frac{31}{16} - \frac{7\sqrt{17}}{16}, \frac{31}{16} + \frac{7\sqrt{17}}{16}) \cup (4, \infty) \Rightarrow |f(u_1^*, r)| > 1 \Rightarrow$  точка  $u_1^* = 0$  – является неустойчивой.

## 2.3 Построение бифуркационной диаграммы

Введем необходимые определения:

Рассмотрим дискретную динамическую систему, определяемую отображением  $f$ :

$$u \rightarrow f(u) = f(u; r), \quad u \in U \subset X, \quad r \in \mathbb{R}, \quad f : U \rightarrow U,$$

где множество  $X \subset \mathbb{R}^n$

**Определение 2.4.** Множество всевозможных состояний  $u_t$  называется пространством состояний(или фазовым пространством) исходной системы.

**Определение 2.5.** Множество точек  $u_t, t = 0, 1, \dots$  называется траекторией(или орбитой) исходной системы, порожденной отображением  $f$ .

**Определение 2.6.** Динамическая система  $u \rightarrow f(u)$  называется топологически эквивалентной в области  $U \subset X$  динамической системе  $v \rightarrow g(v)$  в области  $V \subset X$ , если существует гомеоморфизм  $h : X \rightarrow X, h(U) = V$ , отображающий орбиты первой системы в  $U$  на орбиты второй системы в  $V$ , сохраняя ориентацию во времени.

**Определение 2.7.** Появление топологически неэквивалентных фазовых портретов при изменении вектора параметров рассматриваемой динамической системы называется бифуркацией.

**Определение 2.8.** Бифуркационной диаграммой динамической системы называется разбиение пространства параметров, индуцированное отношением топологической эквивалентности вместе с фазовыми портретами для каждого элемента разбиения.

Построим бифуркационную диаграмму для системы (1). Введем оси координат, такие что на оси абсцисс отчается значение параметра  $r$ , а на оси ординат предельное значение  $u_t$  при  $t \rightarrow +\infty$ . Выберем стартовое значение параметра  $r = 0.03$ . Будем увеличивать его с шагом  $\delta r = 0.003$ . При каждом фиксированном  $r$  выберем произвольную начальную точку  $u_0$ , например,  $u_0 = 0.1$ , и проитерируем систему (1)  $n = 300$  раз, и выведем последние 150 итераций(для стабилизации системы):

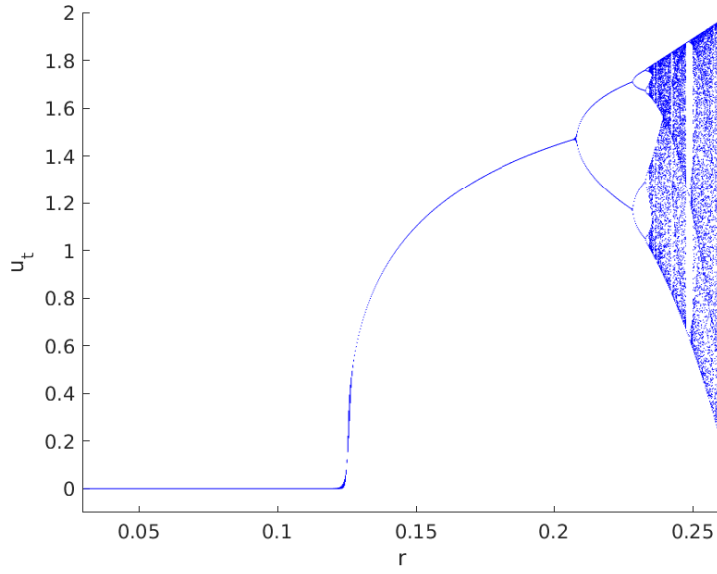


Рис. 1. Бифуркационная диаграмма для системы (1) при  $r \in [0.03, 0.2566]$

Предельно допустимое значение  $r$ :

$$0 < ru(8 - u^3) < 2$$

Возьмем производную по  $u$  функции  $f(u, r) = ru(8 - u^3)$  и найдем экстремальную точку.  $f_u = 8r - 4ru^3 = 0 \rightarrow u = 2^{1/3}$ . Решим уравнение  $f(2^{1/3}, r) = 2$ . Получим, что  $r = \frac{1}{2^{1/3}} = 0.2645$ . Значит этом  $r$  достигается предельное значение для исходной функции.

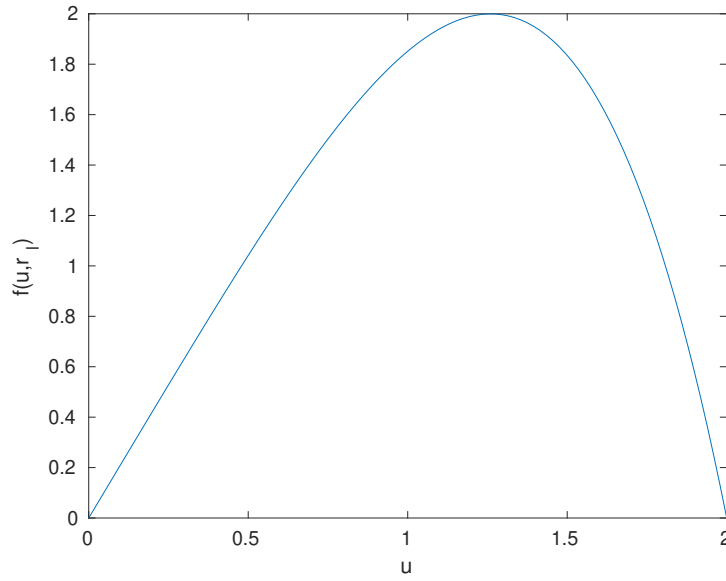


Рис. 2. Демонстрация значений функции при  $r = 0.2566$

## 2.4 Исследование на наличие циклов длины 2 и 3

**Определение 2.9.** Циклом длины  $k$  называется набор попарно различных точек  $u_1, u_2, \dots, u_k$  :

$$f(u_1) = u_2, f(u_2) = u_3, \dots, f(u_k) = u_1.$$

Замечание 2.1. Любая точка цикла является неподвижной точкой отображения  $f^{(k)}(u)$ .

**Определение 2.10.** Упорядочиванием множества натуральных чисел по Шарковскому назовем упорядочивание натуральных чисел по следующему порядку:

$$\begin{aligned} 3 &\succ 5 \succ 7 \succ \dots \succ \\ &\succ 2 \cdot 3 \succ 2 \cdot 5 \succ 2 \cdot 7 \succ \dots \succ \\ &\succ 2^2 \cdot 3 \succ 2^2 \cdot 5 \succ 2^2 \cdot 7 \succ \dots \succ \\ &\succ 2^3 \cdot 3 \succ 2^3 \cdot 5 \succ 2^3 \cdot 7 \succ \dots \succ \\ &\succ \dots \succ 2^3 \succ 2^2 \succ 2 \succ 1. \end{aligned}$$

**Теорема 2 (Шарковский).** Пусть  $f : \mathbb{R} \rightarrow \mathbb{R}$  — непрерывное отображение, и пусть  $f$  имеет цикл длины  $k$ . Тогда система имеет цикл длины  $t$  для всех таких  $t$ , что  $k \succ t$  в смысле порядка по Шарковскому.

Для нахождения циклов длины 2 найдем неподвижные точки уравнения  $f(f(u)) = u$ , отличные от неподвижных точек функции  $f(u)$ .

Из замечания 2.1 следует, что для нахождения цикла длины  $k$  нужно найти решение системы:

$$\begin{cases} f^{(k)}(u) = u \\ \frac{df^{(k)}(u)}{du} = 1. \end{cases}$$

Таким образом, для нахождения циклов длин 2 и 3 необходимо решить соответствующую систему при  $k = 2$  и  $k = 3$  соответственно.

$$\begin{cases} f^{(2)}(u) = u \\ \frac{df^{(2)}(u)}{du} = 1. \end{cases}$$

Решить исходную систему аналитически трудно, учитывая наличие степени куба. Поэтому, решение будет проделано численно при помощи возможностей платформы MatLab. Решив эту систему численно, при помощи функции *solve*, которая позволяет решать системы подобного вида. Получим, что цикл длины 2 будет зарождаться при  $u \approx 1.4736, r \approx 0.2083$ :

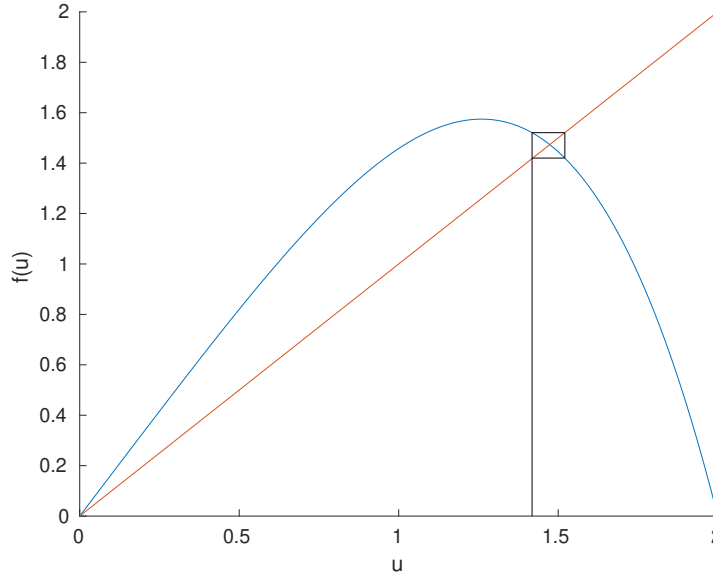


Рис. 3. Нахождение цикла длины 2.  $u_1 = 1.418, u_2 = 1.521, r = 0.2083$

Теперь рассмотрим исходную систему при  $k = 3$ :

$$\begin{cases} f^{(3)}(u) = u \\ \frac{df^{(3)}(u)}{du} = 1. \end{cases}$$

Решив данную систему численно, опять же, с помощью функции MatLab solve, получим пару действительных решений данной системы, однако они будут отрицательными, что, в свою очередь, не удовлетворяет условиям задачи. Из этого делаем вывод, что цикла длины 3 у данной системы нет.

## 2.5 Расчет показателя Ляпунова

**Определение 2.11.** Пусть  $f : \mathbb{R} \rightarrow \mathbb{R}$  — гладкое отображение. Показателем Ляпунова траектории  $u_1, u_2, \dots, u_n, \dots$  называется величина:

$$h(u_1) = \lim_{n \rightarrow \infty} \frac{\ln|f'(u_1)| + \ln|f'(u_2)| + \dots + \ln|f'(u_n)|}{n},$$

если этот предел существует. Построим график зависимости показателя Ляпунова от значений параметра  $r$ . Для этого возьмем начальное приближение  $u_0 = 0.01$  и сетку по  $r$  с шагом  $\delta r = 0.005$  и  $n = 1000$  для каждой итерации по  $r$ . Результат приведен на рис.3.



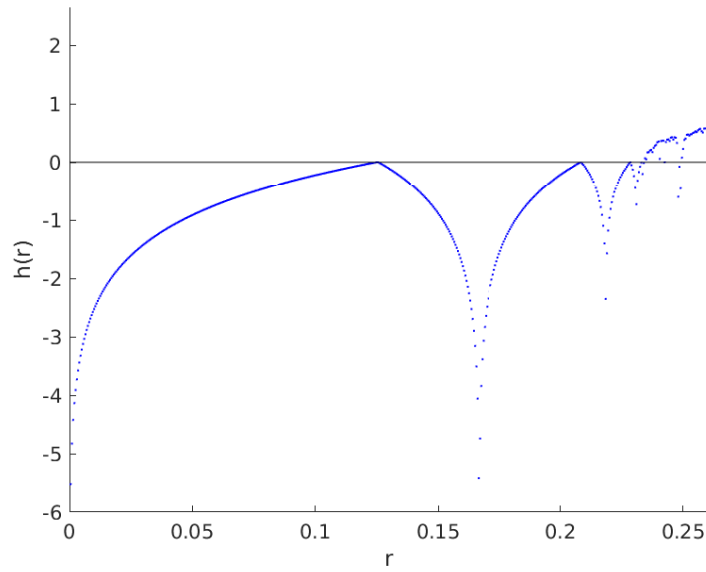


Рис. 4. График зависимости показателя Ляпунова от  $r$ .

Показатель Ляпунова является характеристикой поведения по начальным данным траектории. Если он больше нуля, то близкие траектории разбегаются в системе наблюдается хаотическое поведение. В противном случае расстояние между близкими траекториями уменьшается от итерации к итерации. По рис. 3 видно, что в нашей системе есть хаотическое поведение — показатель Ляпунова может быть положительным. Так же виден интервал, когда показатель Ляпунова меньше нуля. Он соответствует циклу с небольшим периодом.

### 3 Исследование системы (2)

Теперь перейдем к исследованию системы (2):

$$u_{t+1} = ru_t(8 - u_{t-1}^3), \quad 0 < u_t < 2$$

Системы такого вида называются системами с запаздыванием. Перепишем эту систему в следующем виде, чтобы избавиться от запаздывания:

$$\begin{cases} u_{t+1} = f(u_t, v_t) = ru_t(8 - v_t^3), \\ v_{t+1} = g(u_t, v_t) = u_t. \end{cases}$$

Далее будем исследовать эту систему.

#### 3.1 Неподвижные точки системы (2)

**Определение 3.1.** Точка  $u^* \in \mathbb{R}$  называется неподвижной точкой системы (2) если  $f(u^*, u^*) = u^*$ .

В терминах измененной системы без запаздывания получается, что для нахождения неподвижных точек необходимо решить систему:

$$\begin{cases} f(u, v) = u, \\ g(u, v) = v. \end{cases}$$

Что эквивалентно системе:

$$\begin{cases} ru(8 - u^3) = u, \\ v = u. \end{cases}$$

Таким образом, видно, что у данной системы будут такие же неподвижные точки, как у системы (1) с точностью до добавления второй координаты. Итак, исходная система будет иметь три неподвижные точки, а именно:  $a = (0, 0)$ ,  $b = ((\frac{8r-1}{r})^{1/3}, (\frac{8r-1}{r})^{1/3})$

#### 3.2 Исследование характера неподвижных точек

**Теорема 3** Пусть дана динамическая система с дискретным временем:  $u_{t+1} = f(u_t)$ , где  $u_t \in \mathbb{R}^n$ ,  $t \in \mathbb{N}$ ,  $f$  — гладкое отображение из  $\mathbb{R}^n$  в  $\mathbb{R}^n$ . Тогда неподвижная точка  $u^*$  асимптотически устойчива, если все собственные значения  $\lambda_1, \lambda_2, \dots, \lambda_n$  матрицы Якоби функции  $f(u)$ , вычисленные в точке  $u^*$  таковы, что  $|\lambda_i| < 1$ ,  $i = 1, \dots, n$ . Если хотя бы одно собственное значение  $\lambda_i$  таково, что  $|\lambda_i| > 1$  то неподвижная точка  $u^*$  неустойчива.

Выпишем матрицу Якоби для данной системы функций:

$$J(u, v) = \begin{pmatrix} \frac{\partial f}{\partial u} & \frac{\partial f}{\partial v} \\ \frac{\partial g}{\partial u} & \frac{\partial g}{\partial v} \end{pmatrix} = \begin{pmatrix} r(8 - v^3) & -3ruv^2 \\ 1 & 0 \end{pmatrix}$$

- 1) Рассмотрим точку  $a = (0, 0)$ . Подставив ее в матрицу Якоби и найдя собственные значения, получим:  $\lambda_1 = 0$ ,  $\lambda_2 = 8r$ . При  $r < 1/8$  точка  $a$  будет асимптотически устойчивой. При  $r > 1/8$  — неустойчива.

- 2) Рассмотрим точку  $b = ((\frac{8r-1}{r})^{1/3}, (\frac{8r-1}{r})^{1/3})$ . Подставив ее в матрицу Якоби и найдя собственные значения, получим:  $\lambda_1 = \frac{1-i\sqrt{96r-13}}{2}, \lambda_2 = \frac{1+i\sqrt{96r-13}}{2}$ .  $|\lambda_1| = |\lambda_2| = \sqrt{24r-3}$ . Решив неравенства  $0 < \sqrt{24r-3} < 1$  получим, что точка  $b$  асимптотически устойчива при  $r \in (\frac{1}{8}, \frac{1}{6})$ , при  $r = \frac{1}{6}, |\lambda_{1,2}| = 1$  и поэтому нужны дополнительные исследования, и не устойчива в остальных случаях.

### 3.3 Бифуркация Неймарка-Сакера

**Определение 3.2.** Бифуркация положения равновесия в системе:

$$u \rightarrow f(u, r), u = (u_1, u_2) \in \mathbb{R}^2, r \in \mathbb{R},$$

соответствующая появлению собственных значений  $|\lambda_1| = |\lambda_2| = 1, \lambda_1 = \overline{\lambda_2}$ , называется бифуркацией Неймарка-Сакера или дискретной бифуркацией Хопфа.

Исходя из результатов предыдущего пункта, можно сделать вывод, что существует  $r$  при котором бифуркация Неймарка-Сакера существует. При этом, значение параметра  $r$  при котором она существует равна  $r = 1/6$ .

Рассмотрим точку  $((\frac{8r-1}{r})^{1/3}, (\frac{8r-1}{r})^{1/3}) = (1.418, 1.418)$ , и построим бифуркацию в окрестностях этой точки:

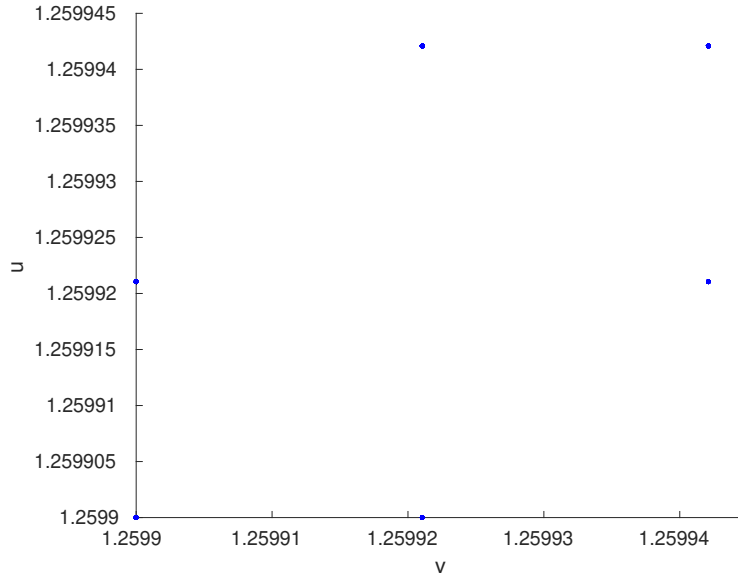


Рис. 5. Поведение траекторий в неподвижной точке  $(1.2599, 1.2599)$  при  $r = 1/6, n = 1000$ .

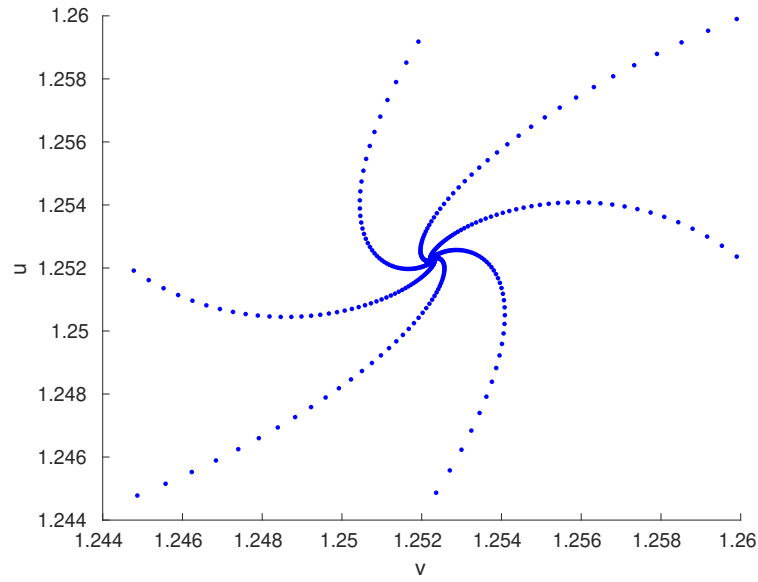


Рис. 6. Поведение траекторий в окрестности неподвижной точки  $(1.2599, 1.2599)$  при  $r = 1/6 - 1/1000, n = 1000$ .

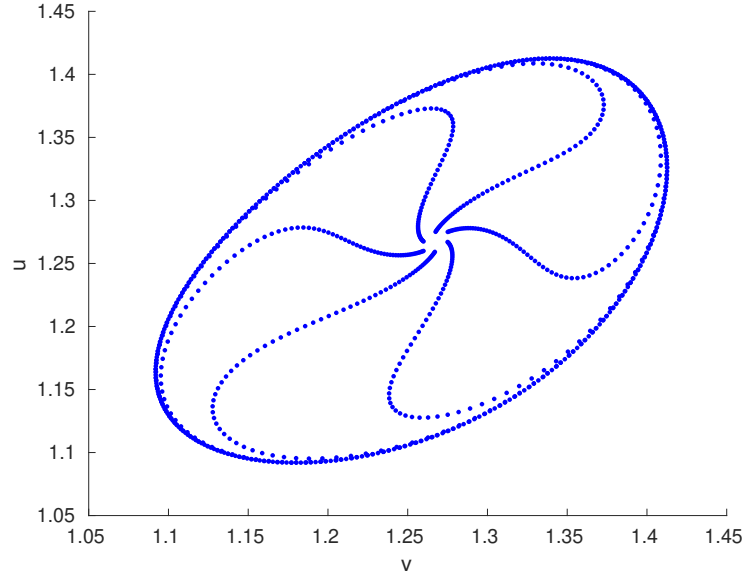


Рис. 7. Поведение траекторий в окрестности неподвижной точки  $(1.2599, 1.2599)$  при  $r = 1/6 + 1/1000, n = 1000$ .

## 4 Список литературы

[1] Братусь А.С., Новожилов А.С., Платонов А.П. Динамические системы и модели биологии.